
Une nouvelle mesure pour l'évaluation des méthodes de détection de communautés

Vincent Labatut

*Département d'informatique, Université Galatasaray
Galatasaray Üniversitesi, Çırağan cad. n°36
Ortaköy 34357, İstanbul, Turquie
vlabatut@gsu.edu.tr*

RÉSUMÉ. La détection de communautés dans un réseau complexe est une tâche que l'on peut rapprocher de la classification non-supervisée réalisée en fouille de données classique. Pour cette raison, l'évaluation des algorithmes accomplissant ce type de traitement s'est faite jusqu'ici exclusivement au moyen de mesures comparables à celles utilisées en fouille de données. Cependant, dans le cas de l'analyse de réseau, celles-ci n'exploitent pas toute l'information disponible et sont susceptibles de fournir des résultats biaisés. Dans cet article, nous illustrons cette limitation et proposons une solution en modifiant une mesure existante. Nous l'appliquons ensuite à des données réalistes afin d'en effectuer une première évaluation expérimentale.

ABSTRACT. Community detection can be considered as a variant of cluster analysis applied to complex networks. For this reason, all existing studies have been using tools derived from this field when evaluating community detection algorithms. However, those are not completely relevant in the context of network analysis, because they ignore a part of the available information, and can therefore lead to incorrect interpretations. In this article, we illustrate this limitation, and propose a solution by modifying an existing measure. We then apply it to realistic community-structured networks, in order to perform a first evaluation.

MOTS-CLÉS : Réseaux complexes, détection de communautés, mesures d'évaluation.

KEYWORDS: Complex networks, community detection, evaluation measure.

1. Introduction

La détection de communautés est un champ de l'analyse de réseaux complexes, consistant à en caractériser la structure à un niveau mésoscopique, i.e. qui n'est ni celui du nœud (microscopique) ni celui du réseau entier (macroscopique). Concrètement, on cherche à décomposer le réseau en un ensemble de sous-graphes interconnectés, chacun constituant ce que l'on appelle une communauté. Le problème n'a pour l'instant pas été posé formellement, mais les auteurs s'accordent sur une définition intuitive de l'objectif de cette tâche, qui est d'obtenir des communautés dont les nœuds sont densément interconnectés, par rapport au reste du réseau [FOR 10].

Une étude présentant une nouvelle méthode de détection de communautés s'articule généralement de la manière suivante : après avoir décrit leur algorithme, les auteurs l'appliquent à des réseaux réels et/ou artificiels, afin de comparer ses performances à celles de certains algorithmes existants. Cette procédure soulève plusieurs problèmes méthodologiques abordés ailleurs, portant notamment sur la nature des réseaux utilisés lors des tests, la définition de structures de communautés de référence, ou la généralisation des résultats obtenus à d'autres réseaux. Dans cet article, on s'intéresse plutôt à l'outil utilisé pour quantifier la performance de l'algorithme. Il s'agit toujours d'une mesure permettant d'associer un score à la structure de communautés estimée, en la comparant à la structure de communautés réelle, qui est connue (soit qu'elle ait été déterminée manuellement dans le cas d'un réseau réel, soit par construction pour un réseau artificiel). Pour ce faire, chacune des deux structures de communautés est considérée comme une simple partition de l'ensemble des nœuds, et le rôle de la mesure est de quantifier leur similarité.

Cependant, comme l'a relevé une étude récente [ORM 12], cette approche a ses limites. En effet, en ignorant totalement l'information topologique lors de l'évaluation des performances, elle court le risque de mettre sur le même plan des résultats de qualités très contrastées. Ainsi, deux structures dont les communautés ont des propriétés topologiques significativement différentes peuvent aboutir à des scores similaires. Dans cet article, nous proposons de modifier la pureté, qui est l'une de ces mesures traditionnelles, afin de lui faire tenir compte de la distribution des liens du réseau. Notre but est d'obtenir un outil permettant une discrimination plus pertinente des algorithmes. Dans la section suivante, nous passons rapidement en revue l'approche utilisée traditionnellement dans la littérature pour évaluer les performances de ce type d'algorithme, et décrivons plus particulièrement la mesure de pureté. Nous soulignons ensuite la limite de cette approche dans le contexte qui est le nôtre, avant d'élaborer notre nouvelle mesure. Nous la validons alors expérimentalement, et concluons par une discussion de notre travail et de ses développements possibles.

2. Approche traditionnelle

Il existe en fouille de données classique une tâche appelée *classification non-supervisée* (ou cluster analysis), consistant à partitionner un ensemble d'objets afin

d'identifier des groupes homogènes. Chaque objet est décrit individuellement au moyen d'un ensemble d'attributs, et la procédure est menée en comparant les objets entre eux grâce à ces attributs. Le parallèle avec la détection de communautés est assez flagrant : dans le cas des réseaux complexes, les objets sont des nœuds, et l'information dont on dispose prend la forme de liens. La différence entre les deux tâches est donc qu'au lieu de considérer une information individuelle (les attributs), on exploite une information relationnelle (les liens). Cependant, dans les deux cas le résultat est le même : une partition de l'ensemble des objets, qui est appelée *structure de communautés* dans le cadre de l'analyse de réseaux complexes.

Il n'est donc pas surprenant que les auteurs ayant développé des algorithmes de détection de communautés se soient tournés vers les méthodes utilisées en fouille de données classique pour évaluer les outils de partitionnement [DAN 05], ou bien aient abouti à la définition de méthodes similaires [GIR 02]. En classification, cette opération est réalisée grâce à une mesure permettant d'obtenir un score correspondant à la performance de l'outil. Lorsqu'une partition de référence est disponible, ce score représente la similarité entre cette partition réelle et celle estimée par l'algorithme considéré ; on parle alors de *critère d'évaluation externe* [MAN 08]. Cependant, il existe une multitude de mesures de ce type, et dans le domaine de la classification, le débat concernant le choix de l'outil d'évaluation le plus approprié est encore d'actualité [LIU 07] : ceci montre bien l'importance de ce point méthodologique. En effet, à quoi bon évaluer un outil si la méthode utilisée n'est pas pertinente ?

La plupart des mesures utilisées en classification ont également été appliquées en détection de communautés. Dans cet article, nous nous concentrons sur la pureté [MAN 08], qui est historiquement la première à avoir été utilisée dans ce contexte [GIR 02], mais surtout la plus simple à adapter selon la méthode que nous développons plus loin. Considérons deux partitions $X = \{x_1, \dots, x_I\}$ et $Y = \{y_1, \dots, y_J\}$ d'un même ensemble, où les x_i et y_j sont les parties et n est le nombre total d'éléments dans l'ensemble partitionné. La pureté d'une partie x_i s'exprime par rapport à l'autre partition Y de la manière suivante :

$$Pur(x_i, Y) = \max_j \frac{|x_i \cap y_j|}{|x_i|} \quad [1]$$

En d'autres termes, on cherche parmi toutes les parties de Y laquelle est la plus présente dans x_i , et on calcule quelle proportion des éléments de x_i elle représente. Plus l'intersection entre les deux parties est grande et plus la pureté est élevée, et leur correspondance forte. La pureté totale de la partition X par rapport à la partition Y est obtenue en effectuant la somme des puretés de chaque x_i , pondérée par leur prévalence dans l'ensemble traité :

$$Pur(X, Y) = \sum_i \frac{|x_i|}{n} Pur(x_i, Y) \quad [2]$$

Il est important de remarquer que la pureté n'est pas une mesure symétrique : calculer la pureté de Y par rapport à X revient à s'intéresser aux parties de X majoritaires dans chaque partie de Y , et on n'a donc pas, sauf cas particulier, d'égalité entre $Pur(X, Y)$ et $Pur(Y, X)$.

Du point de vue de la détection de communautés, on peut donc utiliser deux mesures distinctes, suivant que l'on calcule la pureté des communautés estimées par rapport aux communautés réelles, ou le contraire. En classification, c'est généralement la première qui est appliquée, et appelée simplement *pureté*, alors que la seconde est la *pureté inverse* [MAN 08]. Il est difficile de déterminer laquelle de ces deux versions a été effectivement utilisée en détection de communautés. En effet, dans leur article fondateur, Girvan et Newman donnent une définition très succincte de la mesure qu'ils utilisent, appelée *fraction de nœuds correctement classifiés* [GIR 02]. Un article ultérieur semble indiquer qu'il s'agit de la pureté inverse [NEW 04a] (note 19), ce qui nous a été confirmé directement par Newman. Un grand nombre de travaux menés par la suite par d'autres auteurs ont utilisé des mesures portant ce même nom. Cependant, en raison de l'imprécision initiale, il est tout à fait possible qu'ils aient en réalité utilisé la pureté non-inverse. C'est ce qui ressort, par exemple, d'un commentaire que Danon *et al.* [DAN 05] (p.4) adressent à la mesure de Newman (donc à la pureté inverse), mais qui n'est en réalité valide que pour la pureté non-inverse.

Un autre point important est que chacune de ces deux versions de la mesure souffre d'une limitation. La pureté a tendance à favoriser les algorithmes identifiant de nombreuses communautés de petite taille. Dans le cas extrême, si l'algorithme identifie n communautés contenant chacune un seul nœud, on obtient une pureté maximale, car chaque communauté estimée est complètement pure. Au contraire, la pureté inverse favorise les algorithmes identifiant peu de communautés de grande taille. Cette fois, le cas extrême est celui où l'algorithme identifie une seule communauté contenant tous les nœuds. On obtient là encore une pureté maximale, car chaque communauté réelle est en effet complètement pure, puisque tous les nœuds qu'elle contient appartiennent à la même (unique) communauté estimée. Pour pallier ce défaut, Newman a introduit une contrainte supplémentaire : quand une communauté estimée est majoritaire dans plusieurs communautés réelles, tous les nœuds concernés sont considérés comme mal classifiés.

La méthode utilisée en classification consiste plutôt à calculer la F-mesure, qui est la moyenne harmonique des deux versions de la pureté [ART 07] :

$$F(X, Y) = 2 \frac{Pur(X, Y) \cdot Pur(Y, X)}{Pur(X, Y) + Pur(Y, X)} \quad [3]$$

La mesure obtenue est symétrique, et cette combinaison est supposée compenser les biais précédemment décrits. Cette approche pénalise de façon similaire la sous-estimation et la surestimation du nombre de communautés, c'est pourquoi nous nous baserons sur elle par la suite, et non pas sur l'ajustement de Newman.

3. Limitation des mesures existantes

Les mesures issues de la fouille de données classique, pureté comprise, ne considèrent par définition une structure de communauté que comme une partition de l'ensemble des nœuds. Ceci peut poser problème, car toutes les erreurs de classification n'ont pas forcément la même importance. Considérons par exemple la Figure 1, qui représente un réseau simple constitué de deux communautés, chacune représentée par une couleur différente. On propose deux estimations A et B de cette structure de communautés de référence, elle-même notée R . Chacune comporte une erreur de classification : un nœud appartenant à la communauté de gauche est placé dans celle de droite. Pour A , il s'agit du nœud 2 alors que pour B c'est le nœud 6. Si on applique les mesures présentées dans la section précédente, de manière à comparer A et R , on obtient un score de 0,9 à la fois pour la pureté et la pureté inverse. Par conséquent, la F-mesure, qui est leur moyenne, atteint la même valeur. Rien ne permettant de distinguer A et B en termes de partitions, on obtient bien entendu exactement les mêmes scores quand on compare B et R en utilisant les mêmes mesures. En d'autres termes, aucune de ces mesures ne permet de distinguer les deux erreurs représentées respectivement par A et B .

Pourtant, intuitivement ces erreurs ne semblent pas du tout équivalentes. En effet, le nœud 2 est bien plus ancré dans sa communauté réelle, et paraît donc beaucoup plus important que le nœud 6. L'erreur le concernant est donc plus grave, et par conséquent l'estimation B est de meilleure qualité, et son score devrait être meilleur. Pour éprouver objectivement cette intuition, on peut s'intéresser à la *modularité* [NEW 04b] des trois partitions. Cette mesure quantifie la qualité d'une partition de façon aveugle, i.e. sans tenir compte d'une référence. Pour ce faire, elle compare la proportion de liens situés à l'intérieur des communautés, à l'espérance de cette même proportion calculée pour un modèle aléatoire générant des réseaux similaires (même taille et distribution de degré). La modularité est utilisée comme fonction objectif par de nombreux algorithmes de détection de communautés [FOR 10]. Dans notre cas, la référence R atteint une modularité de 0,36, A de 0,18 et B de 0,34. Plus que leur ordre de grandeur, ce qui nous intéresse ici sont les différences relatives entre ces valeurs : A obtient une valeur bien inférieure à B , ce qui confirme notre intuition.

Cette observation effectuée sur un exemple simple est corroborée sur des réseaux plus réalistes, par une étude récente [ORM 12]. Celle-ci compare des structures de communautés en considérant plusieurs propriétés topologiques permettant de les caractériser. Elle conclut qu'un algorithme de détection de communautés peut atteindre pour un réseau donné un score très élevé, sans que cela reflète forcément une similarité forte, d'un point de vue topologique, entre la structure de communautés estimée et la référence. Le corollaire est que deux algorithmes peuvent atteindre des scores très proches, mais correspondre à des structures de communautés topologiquement bien différentes. On peut en déduire que les mesures existantes ne sont pleinement adaptées ni à l'évaluation des performances d'un algorithme dans l'absolu, ni à la comparaison de plusieurs algorithmes.

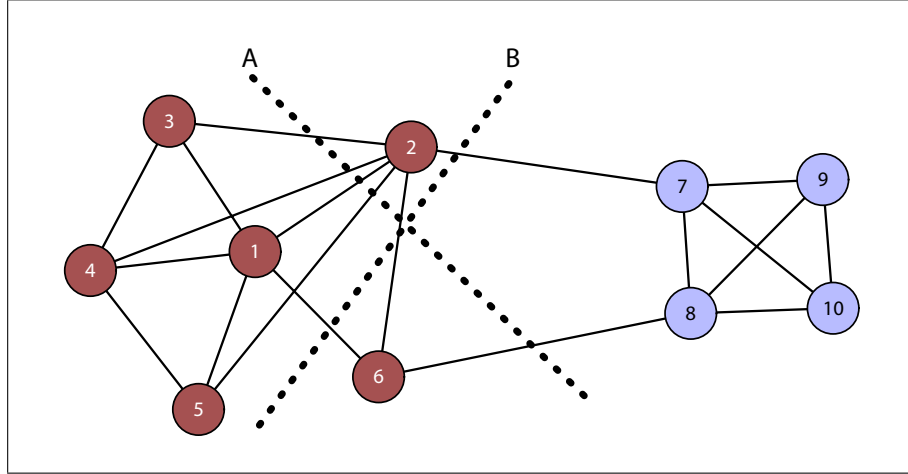


Figure 1 – Cas illustrant la limitation de l'évaluation exclusivement basée sur les partitions. Les couleurs symbolisent les communautés réelles ; les droites A et B représentent les divisions correspondant à deux structures de communautés estimées différentes.

4. Proposition d'une nouvelle mesure

Le problème vient évidemment du fait que considérer qu'une structure de communautés est une simple partition revient à ignorer une partie de l'information disponible : la topologie du réseau. Pour effectuer une évaluation plus pertinente, les auteurs de l'étude mentionnée précédemment proposent d'utiliser de façon conjointe les mesures traditionnelles et différentes propriétés topologiques [ORM 12]. Cependant, ils reconnaissent eux-mêmes que l'utilisation de ces dernières n'est pas aisée, car leur quantification prend la forme de plusieurs séries numériques, difficiles à comparer.

La solution que nous proposons ici est au contraire de modifier la pureté, de manière à ce qu'elle tienne compte de la topologie du réseau. On continue à bénéficier ainsi de la concision d'un score unique pour mesurer la performance de l'algorithme. Par rapport aux autres mesures existantes, la pureté présente l'avantage de pouvoir être reformulée de manière à faire apparaître individuellement la contribution de chaque nœud à l'erreur totale. On définit d'abord la notion de pureté d'un nœud u pour une partition X par rapport à une autre partition Y :

$$Pur(u, X, Y) = \delta(\arg \max_j |x_\alpha \cap y_j|, \beta) \quad [4]$$

Avec $u \in x_\alpha$ et $u \in y_\beta$; et où δ est le symbole de Kronecker (i.e. $\delta(a, b) = 1$ si $a = b$, et 0 sinon). La fonction est donc binaire : 1 si y_β est bien la partie de Y majoritaire dans x_α , et 0 sinon. Considérons par exemple $Pur(2, A, R)$ dans le cas de

la Figure 1, et notons r_1 la partie rouge de R et r_2 sa partie bleue. Dans R , le nœud 2 appartient à la partie rouge, on a donc $\beta = 1$. Dans A , il appartient à la partie de droite, qui a une intersection plus grande avec r_2 qu'avec r_1 , donc $Pur(2, A, R) = \delta(2, 1) = 0$. Pour le nœud 6, on aurait au contraire obtenu $Pur(6, A, R) = \delta(1, 1) = 1$.

On peut ensuite reformuler la pureté d'une partie x_i en moyennant la pureté de ses nœuds :

$$Pur(x_i, Y) = \frac{1}{|x_i|} \sum_{u \in x_i} Pur(u, X, Y) \quad [5]$$

Cette expression est équivalente à celle de l'équation [1], et permet donc de dériver la pureté totale de la partition comme en [2]. En développant, on obtient :

$$Pur(X, Y) = \sum_i \sum_{u \in x_i} \frac{1}{n} Pur(u, X, Y) \quad [6]$$

On peut remarquer que la pureté de chaque nœud est pondérée par la valeur $1/n$. On se propose d'introduire la prise en compte de l'aspect topologique dans cette mesure, en remplaçant ce poids uniforme par une valeur w_u propre à chaque nœud u , de manière à pénaliser plus fortement les erreurs concernant les nœuds les plus importants topologiquement :

$$Pur'(X, Y) = \sum_i \sum_{u \in x_i} \frac{w_u}{\sum_v w_v} Pur(u, X, Y) \quad [7]$$

La normalisation des poids par leur somme totale permet de garder une valeur finale comprise entre 0 et 1. Enfin, en appliquant à [7] le même principe que dans [3], on peut définir une version modifiée de la F-mesure, prenant en compte la topologie du réseau, et que l'on note F' .

Toute la question est alors de savoir comment caractériser l'importance des nœuds. L'idée est qu'une erreur de classification concernant un nœud fortement intégré à sa communauté doit compter plus que s'il s'agit d'un nœud situé à la lisière. On peut pour cela considérer le degré d du nœud, en le divisant par le degré maximal du réseau pour le normaliser : $d(u)/\max_v d(v)$. On donne ainsi plus de poids aux hubs communautaires tels que le nœud 2 de la Figure 1, et moins aux nœuds plus périphériques comme le nœud 6.

Cependant, on peut faire deux critiques à cette approche. Premièrement, il est possible qu'un nœud de degré élevé ait des connexions distribuées sur de nombreuses communautés, ce qui empêche toute intégration forte avec l'une d'elle en particulier. Puisque l'appartenance de ce nœud semble assez incertaine, lui donner un grand poids semble peu approprié. De plus, utiliser seulement le degré amène à minimiser l'importance des nœuds de degré très faible, mais dont l'entièreté des connexions est réalisée

dans leur communauté. La mesure d'*enchâssement* (ou embeddedness) [LAN 10] permet de prendre ces deux traits en compte. Il s'agit du rapport entre le degré interne d'un nœud $d_{int}(u)$ et son degré total $d(u)$. Le degré interne d'un nœud correspond au nombre de ses voisins directs situés dans la même communauté que lui. La mesure est comprise entre 1 (tous les liens du nœud sont dans sa communauté) et 0 (aucun lien dans sa communauté).

Afin de combiner les deux aspects, on se propose de multiplier ces deux valeurs (degré normalisé et enchâssement). Ainsi, plus un nœud cumule ces deux propriétés et plus il est important pour nous. Après simplification, le poids d'un nœud u est donc défini de la façon suivante :

$$w_u = \frac{d_{int}(u)}{\max_v d(v)} \quad [8]$$

Si on calcule F' pour l'exemple de la Figure 1, on obtient les valeurs 0,85 pour A et 0,94 pour B , ce qui correspond au comportement attendu. Bien sûr, la formule [7] est générale et peut être adaptée en fonction des besoins, en modifiant l'expression du poids. Par exemple, si les liens sont pondérés, on peut considérer la force des nœuds (somme des poids des liens attachés au nœud) plutôt que leur degré.

5. Évaluation expérimentale

Afin d'éprouver notre mesure sur des données plus réalistes, nous l'avons appliquée à des réseaux artificiels possédant une structure de communautés. La méthode et les paramètres de génération retenus sont exactement les mêmes que dans l'étude déjà citée [ORM 12], afin de bénéficier des observations qu'elle contient quant aux propriétés topologiques des structures de communautés réelles et estimées. Pour la même raison, nous avons appliqué les mêmes algorithmes de détection de communautés : Copra [GRE 10], FastGreedy [NEW 04a], InfoMap [ROS 08], InfoMod [ROS 07], Louvain [BLO 08], MarkovCluster [DON 08], Oslom [LAN 11] et WalkTrap [PON 05]. Notre but n'était pas d'identifier les meilleurs algorithmes, mais bien d'éprouver le pouvoir discriminant de notre mesure. Nos données sont constituées de 5 réseaux de $n = 25000$ nœuds, dont les principales propriétés topologiques sont compatibles avec les descriptions de réseaux réels de la littérature : distribution du degré, transitivité, tailles des communautés, enchâssement des nœuds, etc. (cf. [ORM 12] pour plus de détails sur les algorithmes ou la méthode générative).

Les auteurs de l'étude précédemment citée utilisent un panel représentatif de mesures pour évaluer les performances des algorithmes. Cependant la fraction de nœuds correctement classifiés qu'ils ont retenue est la version de Newman, que nous avons décrite dans la section 2. Or, notre propre mesure est basée sur la F-mesure appliquée à la pureté classique. Afin que la comparaison entre notre mesure et la mesure non-topologique soit pertinente, nous avons donc recalculé les performances des al-

gorithmes en utilisant la F-mesure non-topologique de l'équation [3], et bien sûr notre propre variante, la version topologique basée sur la formule [7].

La Figure 2 présente les résultats obtenus. Seuls deux algorithmes, InfoMod et WalkTrap, voient leur score diminuer avec notre mesure, ce qui signifie que leurs performances sont majoritairement dues à des nœuds de poids faible, et donc considérés comme peu importants topologiquement parlant. On observe l'effet inverse pour tous les autres algorithmes.

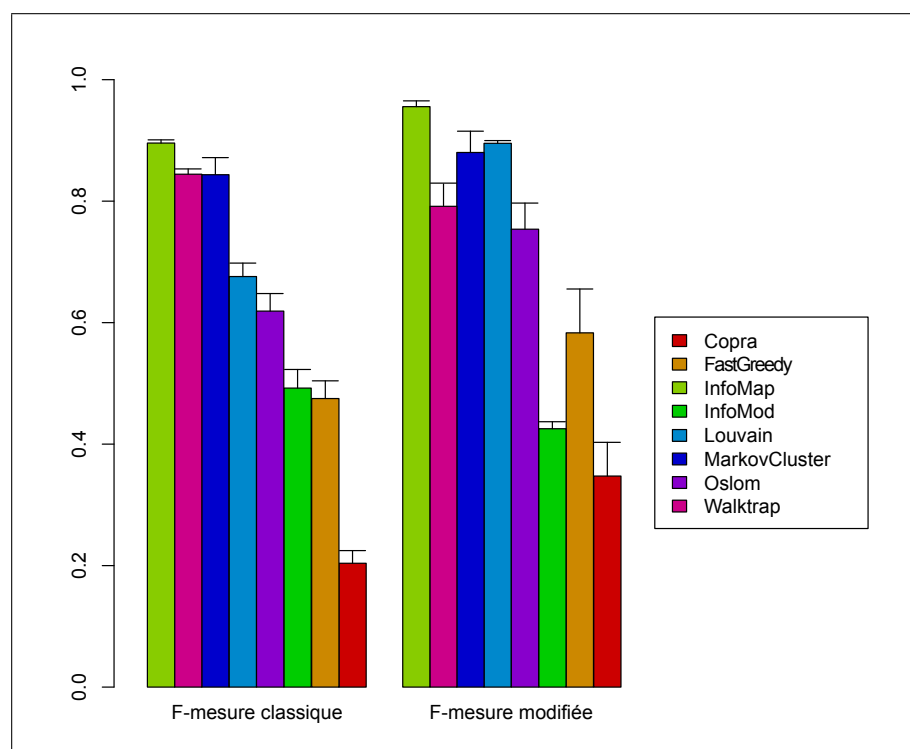


Figure 2 – Comparaison des résultats obtenus avec la F-mesure classique et notre version modifiée pour tenir compte de la topologie.

Les classements des algorithmes selon les deux mesures, obtenus après Anova et test de Tukey avec un seuil de signification de $\alpha = 0.05$, sont présentés dans le Tableau 1. Les algorithmes dont les résultats ne sont pas considérés comme significativement différents sont placés sur la même ligne. On peut voir que l'ordre ne change pas radicalement pour notre mesure. En particulier, les algorithmes ayant obtenu les scores les plus extrêmes restent les mêmes (InfoMap et Copra). Ceci est cohérent avec l'analyse effectuée dans [ORM 12], qui remarquait que les structures de communautés détectées par InfoMap sont extrêmement proches, pour l'ensemble des propriétés étudiées, de celles des structures réelles (et inversement pour Copra).

F-mesure classique		F-mesure modifiée	
Rang	Algorithmes	Rang	Algorithmes
1	InfoMap	1	InfoMap
2	MarkovCluster, Walktrap	2	Louvain, MarkovCluster
4	Louvain, Osлом	4	WalkTrap, Osлом
6	InfoMod, FastGreedy	6	FastGreedy
8	Copra	7	InfoMod, Copra

Tableau 1 – Classement des algorithmes en fonction de la F-mesure classique et de sa variante topologique.

InfoMod est rétrogradé au niveau de Copra, alors qu’il obtient des performances comparables à celles de FastGreedy avec la F-mesure classique. De la même façon, WalkTrap est rétrogradé au niveau d’Osлом alors qu’il était auparavant équivalent à MarkovCluster. Ce résultat est lui aussi cohérent avec les remarques faites dans [ORM 12], qui relèvent que WalkTrap est considéré comme très proche d’InfoMap au vu des mesures classiques, alors que les propriétés topologiques des communautés qu’il détecte sont plus éloignées de la référence, notamment en ce qui concerne la taille des communautés. La même remarque avait été faite au sujet de MarkovCluster, cependant notre mesure ne semble pas la confirmer. Tout au plus observe-t-on un accroissement de l’écart avec InfoMap, mais celui-ci était déjà significatif avec la mesure classique. Enfin, la performance mesurée pour Louvain augmente suffisamment pour le placer au niveau de MarkovCluster, alors qu’il était comparable à Osлом avec la mesure classique. Pour résumer, on peut conclure que, d’après ces premières évaluations, la mesure que nous proposons est en accord avec l’analyse précédente concernant la relation entre performance classique et propriétés topologiques des communautés estimées. Cependant, des manipulations supplémentaires sont nécessaires pour évaluer au mieux l’opportunité de la préférer aux mesures classiques.

6. Conclusion

Dans cet article, nous nous sommes intéressés aux mesures utilisées pour évaluer les algorithmes de détection de communautés. Toutes celles mentionnées dans la littérature sont du type de celles utilisées en fouille de données, et plus précisément en classification non-supervisée. Notre première contribution est d’avoir montré qu’aucune n’est pleinement appropriée à cette tâche, car elles ignorent complètement la topologie du réseau traité. Ceci diminue leur pertinence, et peut amener l’utilisateur à une interprétation erronée des scores obtenus. Notre deuxième contribution est d’avoir défini une variante de la pureté, la plus répandue de ces mesures, afin de résoudre ce problème. Nous avons pour cela introduit une modification générale consistant à y intégrer un poids pour chaque nœud, ce qui permet de pénaliser individuellement chaque erreur de classification. L’adaptation à l’analyse des réseaux complexes est alors effectuée en utilisant une propriété topologique nodale comme poids. Dans un premier

temps, nous avons proposé de tenir compte à la fois du degré du nœud et de son enchaînement dans sa communauté réelle. Notre troisième contribution est d'avoir illustré l'apport de notre mesure, en l'utilisant sur les résultats fournis par une sélection d'algorithmes de détection de communautés, appliqués à des réseaux réalistes générés artificiellement. Le classement obtenu pour la mesure modifiée est cohérent avec une analyse approfondie de la topologie des structures de communautés estimées, qui avait été conduite précédemment [ORM 12]. En d'autres termes, les performances relatives des algorithmes nous semblent, sur ces données, rendues de façon plus pertinente qu'avec la mesure classique.

L'une des limitations de ce travail concerne le choix de la définition des poids que nous avons introduits pour tenir compte de la topologie du réseau. En effet, chaque poids est supposé représenter l'importance du nœud associé dans le réseau, et cette notion est difficile à formuler objectivement. Dans cet article, nous avons pénalisé les algorithmes incapable de traiter correctement les nœuds supposés faciles à classifier : ceux situés au cœur des communautés. Mais il serait possible de prendre le contre-pied de cette approche, en faisant l'hypothèse que les algorithmes classifient tous correctement ce type de nœuds, et qu'il faudrait donner plus d'importance à ceux situés en lisière des communautés. On aboutirait alors probablement à des résultats assez différents. Une autre critique peut être formulée, mais à propos de la pureté cette fois. Dans le domaine de la fouille de données classique, certains auteurs préconisent d'appliquer une correction à ce type de mesures, afin de tenir compte de la part de chance dont le classificateur bénéficie [GUG 93]. L'idée est de déterminer sa performance réelle, en déduisant du score obtenu les résultats corrects dus au seul hasard. Dans un premier temps, nous avons décidé de ne pas effectuer cette correction sur notre mesure, bien que cela soit tout à fait possible.

En plus de ces points, notre travail peut être étendu de multiples manières. On peut tout d'abord envisager deux autres types d'utilisation de notre mesure. Bien que celle-ci ait été définie pour comparer une partition estimée à une partition de référence, on pourrait l'utiliser pour comparer deux partitions estimées, comme il est déjà possible de le faire avec les mesures classiques. On effectuerait alors une comparaison qui tiendrait compte de l'aspect topologique. Elle pourrait également être appliquée dans le cadre de la classification classique, i.e. sur des données non-relationnelles, dans le cas où l'on jugerait nécessaire d'assigner différentes importances aux objets classifiés. La mesure pourrait aussi être modifiée afin de l'adapter aux particularités de réseaux spécifiques : liens orientés, liens pondérés, etc. Enfin, le principe même d'intégrer une prise en compte de l'information relationnelle dans une mesure classique pourrait être appliqué à d'autres mesures telles que l'*information mutuelle normalisée* [STR 02] ou l'*index de Rand* [RAN 71], qui ont sur la pureté l'avantage d'être symétriques.

7. Bibliographie

[ART 07] ARTILES J., GONZALO J., SEKINE S., « The SemEval-2007 WePS Evaluation : Establishing a benchmark for the Web People Search Task », *Workshop on Semantic*

Evaluation, 2007. 4

- [BLO 08] BLONDEL V. D., GUILLAUME J.-L., LAMBIOTTE R., LEFEBVRE E., « Fast unfolding of communities in large networks », *J. Stat. Mech.*, vol. 10, 2008, page P10008. 8
- [DAN 05] DANON L., DÍAZ-GUILERA A., DUCH J., ARENAS A., « Comparing Community Structure Identification », *J. Stat. Mech.*, vol. 9, 2005, page P09008. 3, 4
- [DON 08] VAN DONGEN S., « Graph clustering via a discrete uncoupling process », *SIAM J. Matrix. Anal. A.*, vol. 30, n° 1, 2008, p. 121-141. 8
- [FOR 10] FORTUNATO S., « Community detection in graphs », *Phys. Rep.*, vol. 486, n° 3-5, 2010, p. 75-174. 2, 5
- [GIR 02] GIRVAN M., NEWMAN M. E. J., « Community structure in social and biological networks », *PNAS*, vol. 99, n° 12, 2002, p. 7821-7826. 3, 4
- [GRE 10] GREGORY S., « Finding overlapping communities in networks by label propagation », *New J. Phys.*, vol. 12, n° 10, 2010, page 103018. 8
- [GUG 93] GUGGENMOOS-HOLZMANN I., « How Reliable Are Chance-Corrected Measures of Agreement », *Stat. Med.*, vol. 12, n° 23, 1993, p. 2191-2205. 11
- [LAN 10] LANCICHINETTI A., KIVELÄ M., SARAMÄKI J., FORTUNATO S., « Characterizing the Community Structure of Complex Networks », *PLoS ONE*, vol. 5, n° 8, 2010, page e11976. 8
- [LAN 11] LANCICHINETTI A., RADICCHI F., RAMASCO J. J., FORTUNATO S., « Finding Statistically Significant Communities in Networks », *PLoS ONE*, vol. 6, n° 4, 2011, page e18961. 8
- [LIU 07] LIU C. R., FRAZIER P., KUMAR L., « Comparative assessment of the measures of thematic classification accuracy », *Remote Sens. Environ.*, vol. 107, 2007, p. 606-616. 3
- [MAN 08] MANNING C. D., RAGHAVAN P., SCHÜTZE H., *Introduction to Information Retrieval*, Cambridge University Press, 2008. 3, 4
- [NEW 04a] NEWMAN M. E. J., « Fast algorithm for detecting community structure in networks », *Phys. Rev. E*, vol. 69, n° 6, 2004, page 066133. 4, 8
- [NEW 04b] NEWMAN M. E. J., GIRVAN M., « Finding and evaluating community structure in networks », *Phys. Rev. E*, vol. 69, n° 2, 2004, page 026113. 5
- [ORM 12] ORMAN G. K., LABATUT V., CHERIFI H., « Comparative Evaluation of Community Detection Algorithms : A Topological Approach », *J. Stat. Mech.*, vol. 8, 2012, page P08001. 2, 5, 6, 8, 9, 10, 11
- [PON 05] PONS P., LATAPY M., « Computing communities in large networks using random walks », *LNCS*, vol. 3733, 2005, p. 284-293. 8
- [RAN 71] RAND W. M., « Objective Criteria for the Evaluation of Clustering Methods », *J. Am. Stat. Assoc.*, vol. 66, n° 336, 1971, p. 846-850. 11
- [ROS 07] ROSVALL M., BERGSTROM C. T., « An information-theoretic framework for resolving community structure in complex networks », *PNAS*, vol. 104, 2007, p. 7327-7331. 8
- [ROS 08] ROSVALL M., BERGSTROM C. T., « Maps of random walks on complex networks reveal community structure », *PNAS*, vol. 105, n° 4, 2008, page 1118. 8
- [STR 02] STREHL A., GHOSH J., « Cluster ensembles : A knowledge reuse framework for combining multiple partitions », *J. Mach. Learn. Res.*, vol. 3, 2002, p. 583-617. 11